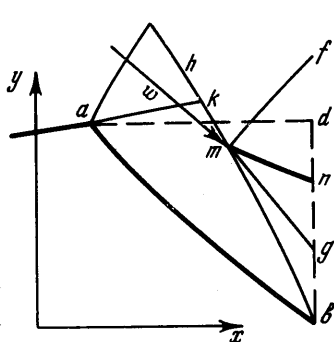


О МИНИМАЛЬНОМ СОПРОТИВЛЕНИИ КОРМОВЫХ ЧАСТЕЙ ТЕЛ

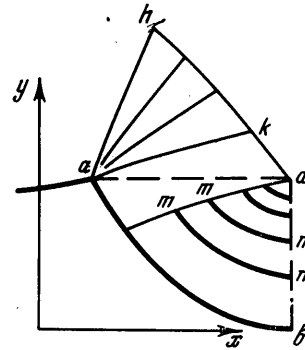
Ю. Д. ШМЫГЛЕВСКИЙ (Москва)

Исследование минимального волнового сопротивления тел в сверхзвуковом потоке до сих пор проводилось только для случая обтекания одной поверхности. В то же время известны пути уменьшения сопротивления аппарата ценой введения дополнительных тел, не выходящих из заданных габаритов.

Пусть, например, плоский профиль или тело вращения (фиг. 1) с образующей ab обтекается потоком с характерными линиями Маха ah , ak , kb . Пусть, далее, скорость в точке m изображается вектором w с углом наклона θ_w к оси x . Введем в поток тело с



Фиг. 1



Фиг. 2

прямолинейной образующей mn так, чтобы угол наклона θ_0 отрезка mn к оси x удовлетворял условиям $\theta_w < \theta_0 < 0$. В этом случае в потоке возникнет волна разрежения bmg и ударная волна mf , давление на нижней стороне mn может быть во всех точках меньше, чем давление на верхней стороне mn , и равнодействующая сил давления будет направлена в сторону отрицательных значений x . Подобным образом может быть увеличена тяга сопла.

Рассмотрим задачу о минимальном сопротивлении кормовой части тела при заданных габаритах. При ее решении нельзя, конечно, требовать, чтобы контур ab обладал минимальным сопротивлением при заданном набегающем потоке среди всех контуров, соединяющих точки a и b . Минимальным сопротивлением должна обладать вся система тел с образующими в прямоугольнике $x_a \leq x \leq x_b$, $y_b \leq y \leq y_a$.

Пусть набегающий поток (фиг. 2) задан на линии Маха ah . В качестве контрольного контура выберем линию $ahdba$, причем hd является линией Маха второго семейства, а отрезок bd определяется условиями $x = x_b$, $y_b \leq y \leq y_a$. Течение совершенного газа определяется уравнениями

$$\frac{\partial y^v \rho u}{\partial x} + \frac{\partial y^v \rho v}{\partial y} = 0, \quad u \frac{\partial u}{\partial x} + v \frac{\partial u}{\partial y} + \frac{1}{\rho} \frac{\partial p}{\partial x} = 0$$

$$\rho = \left[\frac{\kappa + 1}{2\kappa\varphi} \left(1 - \frac{\kappa - 1}{\kappa + 1} w^2 \right) \right]^{\frac{1}{\kappa - 1}}, \quad p = \varphi \rho^\kappa$$

$$\varphi = \varphi(\psi), \quad d\psi = y^v \rho (u dy - v dx)$$

Здесь x, y — декартовы координаты, отнесенные к некоторому линейному размечту l ; u, v — соответствующие составляющие скорости, отнесенной к критической скорости a_* ; ρ — плотность, отнесенная к некоторому значению плотности ρ_* ; p — давление, отнесенное к $\rho_* a_*^2$; φ — энтропийная функция, отнесенная к $\rho^{1-\kappa} a_*^2$; φ — функция тока, отнесенная к $l^{v+1} \rho_* a_*$; κ — показатель адабаты; v равно нулю или единице соответственно в плоском или осесимметричном случае.

Вариационная задача на контрольном контуре ставится и решается обычным путем [1]. Для получения минимального волнового сопротивления необходимо найти функции $\alpha(y)$ и $\Theta(y)$ на hd и функции $u(y)$ и $v(y)$ на bd , реализующие минимум сопротивления χ

$$\frac{\chi}{(2\pi)^v} = \int_{y_a}^{y_h} F_1 dy + \int_{y_d}^{y_h} \Phi_1 dy + \int_{y_b}^{y_d} \Psi_1 dy$$

при условии равенства расходов через ah и bdh

$$\Psi = 0 = \int_{y_a}^{y_h} F_2 dy + \int_{y_d}^{y_h} \Phi_2 dy + \int_{y_b}^{y_d} \Psi_2 dy$$

при заданной длине

$$X = x_b - x_a = \int_{y_a}^{y_h} F_3 dy + \int_{y_d}^{y_h} \Phi_3 dy$$

при условии совместности $\Phi_4 = 0$ на характеристике hd и заданной функции $\varphi(\psi)$. Здесь приняты обозначения

$$\begin{aligned} F_1 &= \sqrt{\kappa} \varphi^n y^v z w \left[\frac{\cos \vartheta}{\sin(\vartheta + \alpha)} + \frac{\sin \alpha}{\kappa} \right], \quad F_2 = \sqrt{\kappa} \varphi^n y^v z \operatorname{cosec}(\vartheta + \alpha), \quad F_3 = \operatorname{ctg}(\vartheta + \alpha) \\ \Phi_1 &= \sqrt{\kappa} \varphi^n y^v z w \left[\frac{\cos \vartheta}{\sin(\vartheta - \alpha)} - \frac{\sin \alpha}{\kappa} \right], \quad \Psi_1 = -y^v (p + \rho u^2) \\ \Phi_2 &= \sqrt{\kappa} \varphi^n y^v z \operatorname{cosec}(\vartheta - \alpha), \quad \Phi_3 = -\operatorname{ctg}(\vartheta - \alpha) \Psi_2 = -y^v \rho u \\ \Phi_4 &= \frac{d\vartheta}{dy} - \frac{1 + \cos 2\alpha}{\kappa - \cos 2\alpha} \frac{d\alpha}{dy} - \frac{v \sin \vartheta \sin \alpha}{y \sin(\vartheta - \alpha)} + \frac{\sin 2\alpha}{2\kappa(\kappa - 1)\varphi} \frac{d\varphi}{dy}, \\ \vartheta &= \operatorname{arc tg} \frac{v}{u}, \quad \alpha = \arcsin \left(\frac{\kappa p}{\rho w^2} \right)^{1/2}, \quad w = \sqrt{u^2 + v^2} \\ z &= \left(\frac{\kappa + 1}{2\kappa} \frac{1 - \cos 2\alpha}{\kappa - \cos 2\alpha} \right)^\gamma, \quad n = -\frac{1}{\kappa - 1} \quad (\gamma = \frac{1}{2} \frac{\kappa + 1}{\kappa - 1}) \end{aligned}$$

Приведем решение этой задачи. Участок hk характеристики hd определяется изломом контура ab в точке a . Участок kd той же характеристики определяется равенствами

$$\begin{aligned} \frac{w \cos(\vartheta + \alpha)}{\cos \alpha} &= \frac{w_k \cos(\vartheta_k + \alpha_k)}{\cos \alpha_k} = -\lambda_2 \\ \varphi^n(\psi) y^v z w \frac{\sin^2 \vartheta}{\cos \alpha} &= \varphi^n(\psi_k) y_k^v z_k w_k \frac{\sin^2 \vartheta_k}{\cos \alpha_k} = \lambda_3 \\ \frac{dx}{dy} = \operatorname{ctg}(\vartheta - \alpha), \quad x(y_k) = x_k, \quad \frac{d\psi}{dy} &= -\frac{y^v \rho w \sin \alpha}{\sin(\vartheta - \alpha)}, \quad \psi(y_k) = \psi_k \end{aligned}$$

На отрезке bd выполняются равенства

$$u = -\lambda_2, \quad v = 0$$

Координаты точки k определяются из условия получения заданных величин Ψ и X . В точке d должно выполняться условие

$$\Phi_1 + \lambda_2 \Phi_2 + \lambda_3 \Phi_3 - \Psi_1 - \lambda_2 \Psi_2 \geq 0$$

Если рассмотреть ту же задачу при допущении возрастания энтропии, то оказывается, что энтропийная функция $\varphi(\psi)$ на hd и bd должна сохраняться при выполнении на kd неравенства

$$G < \vartheta < G + \pi, \quad G = -\operatorname{arc tg} \frac{\sin 2\alpha}{2\kappa - 1 - \cos 2\alpha}$$

и на bd неравенства

$$\frac{\kappa + 1}{2\kappa} + \left(\frac{\kappa + 1}{2\kappa} + u \right) u > 0$$

которое выполняется при $\kappa > 1$ и $u > 0$.

Для иллюстрации полученных результатов были проведены расчеты плоских течений при $\kappa = 1.4$. Набегающий поток был принят равномерным с $\alpha_\infty = 1.4$ и $\vartheta_\infty = 0$.

m	α	ϑ	u	c_x	c_x^0
17.116	1.0	-0.0558	1.2476	0.2767	0.2844
9.538	0.9	-0.0952	1.3545	0.4054	0.4283
5.469	0.8	-0.1524	1.4835	0.5620	0.6205
3.121	0.7	-0.2333	1.6310	0.7417	0.8679
1.770	0.6	-0.3457	1.7834	0.9228	1.4036
1.121	0.5	-0.4998	1.9039	1.0524	1.2198

Удлинение кормовой части тела ($x_d - x_a$): ($y_d - y_b$) обозначено через m . В области $adka$ угол Маха обозначен через α , а угол наклона скорости к оси x — через φ . Скорость на bd обозначена через u . Коэффициент сопротивления c_x , соответствующий минимальному сопротивлению, определяется формулой

$$c_x = 2 \frac{P + P_\infty (y_d - y_b)}{(y_d - y_b) \rho_\infty u_\infty^2}$$

где P — сила, действующая на кормовую систему тел, а индекс ∞ приписан величинам в набегающем потоке. Результаты расчетов сведены в таблицу. Во всех примерах все перечисленные условия экстремума выполнены. В той же таблице приведен минимальный коэффициент сопротивления c_x^* , который можно обеспечить только одной образующей ab при прочих равных условиях. Первые четыре таких профиля прямолинейны и соединяют точки a и b , а пятый и шестой профиля представляют собой ломаные линии, состоящие из прямолинейных отрезков, выходящих из точки a с углом наклона -0.3598 , и прямолинейных отрезков с $x = x_b$, приходящих в точку b .

Поступило 14 VI 1966

ЛИТЕРАТУРА

- Шмидт Ю. Д. Некоторые вариационные задачи газовой динамики. Тр. Вычислительного центра АН СССР, 1963.

К РАСЧЕТУ ОБТЕКАНИЯ ПЛОСКИХ ТРЕУГОЛЬНЫХ КРЫЛЬЕВ ПРИ БОЛЬШИХ УГЛАХ АТАКИ

А. П. БАЗЖИН (Москва)

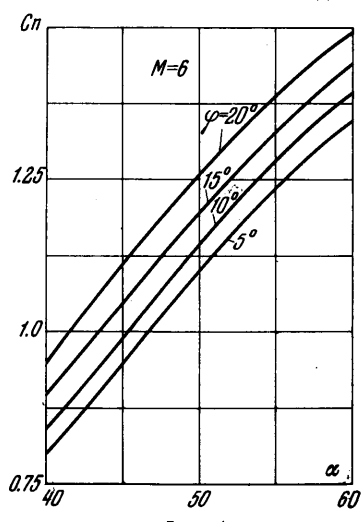
Рассматривается течение около нижней поверхности плоского треугольного крыла, обтекаемого гиперзвуковым потоком совершенного невязкого и нетеплопроводного газа под большими углами атаки.

В опубликованной недавно работе [1] предложен интегральный метод, позволяющий в принципе, рассчитывать течения около крыльев с различной степенью точности. На основе первого приближения этого метода дан подробный качественный анализ возможных схем течения на нижней поверхности плоских треугольных крыльев.

В работе [2] для расчета течения около нижней поверхности треугольного крыла также был использован метод интегральных соотношений. Полученная в этой работе аппроксимирующая система обыкновенных дифференциальных уравнений оказалась практически неудобной. Впоследствии была принята другая аппроксимация подынтегральных функций и другая аппроксимирующая система, решение которой находится быстрее, так как появляется возможность один из неизвестных параметров определять из начальных условий в плоскости симметрии течения. При некоторых режимах течения это приводит к существенному сокращению потребного машинного времени. Имеются также режимы с растеканием потока на поверхности крыла от некоторой образующей, не лежащей в плоскости симметрии течения. В таких случаях интегрирование аппроксимирующей системы уравнений является более трудоемким процессом, много времени требуется на подбор значения энтропийной функции на поверхности тела.

Основная цель настоящей работы заключалась в проведении систематических расчетов обтекания нижних поверхностей плоских треугольных крыльев в возможно более широком диапазоне углов атаки, числа M и угла при вершине крыла. Были рассмотрены крылья с углами стреловидности передней кромки, равными $70 \div 85^\circ$, в диапазоне углов атаки от 30 до 60° и чисел M от 4 до 10 . На фиг. 1 в качестве примера представлена зависимость коэффициента нормальной силы треугольных крыльев C_n от угла атаки α при $M = 6,0$ для различных значений φ — половины угла при вершине крыла.

Получено также распределение других параметров течения (компонентов скорости, давления и плотности) по поверхности треугольных крыльев при различных режимах их обтекания. Пользуясь этими данными, можно построить картину линий тока на



Фиг. 1